

Пр 47-1
2013-7



Российская
академия наук

ISSN 0002—3353

Известия Академии наук

Серия
химическая

2013
стр. 1465—1698

Журнал издается одновременно на русском («*Известия Академии наук. Серия химическая*») и английском («*Russian Chemical Bulletin*») языках. Подробную информацию о журнале, содержания номеров журнала в графической форме и аннотации статей, а также годовые предметные и авторские указатели можно получить в Интернете по адресу: <http://russchembull.ru>

The Journal is published in Russian and English.
The International Edition is published under the title "Russian Chemical Bulletin" by Springer:
233 Spring St., New York, NY 10013, USA. Tel.: 212 460 1572. Fax: 212 647 1898.
Detailed information concerning the journal, contents of issues with graphical and text abstracts, as well as annual subject and author indices can be found in the Internet at <http://russchembull.ru>

Номер составлен из статей, подготовленных по материалам докладов на XXIV конференции «Современная химическая физика» (20 сентября—1 октября 2012 г., Туапсе), международной конференции «Современные проблемы химической физики» (9—12 октября 2012 г., Ереван) и конференции «Окисление, окислительный стресс и антиоксиданты» (9—12 октября 2012 г., Ереван).

Содержание

Эдуард Евгеньевич Нифантьев (к восьмидесятилетию со дня рождения)

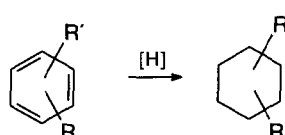
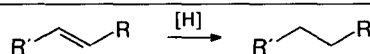
Изв. АН. Сер. хим., 2013, № 7, ix

Обзоры

Катализаторы гидрирования на основе наночастиц металлов, стабилизированных органическими лигандами

Э. А. Карабанов, А. Л. Максимов,
А. В. Золотухина, Ю. С. Кардашева

Изв. АН. Сер. хим., 2013, № 7, 1465



Новые гетерогенно-катализитические методы конверсии лигноцеллюлозной биомассы в химические продукты

Б. Н. Кузнецов, Н. В. Чесноков,
О. В. Яценкова, В. И. Шарыпов

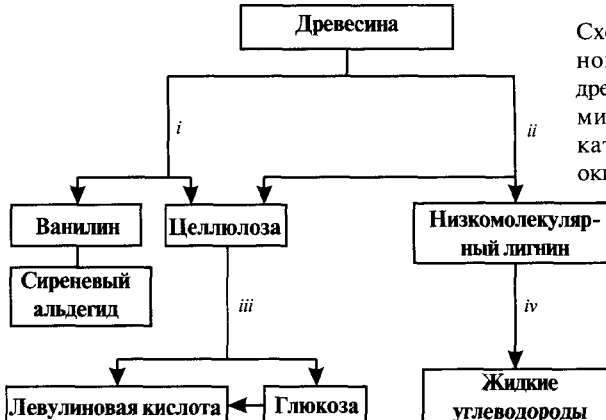


Схема комплексной переработки древесины методами гетерогенно-катализитического окисления

Изв. АН. Сер. хим., 2013, № 7, 1493

i. Окисление O_2 с медным катализатором; ii. Окисление H_2O_2 с катализатором TiO_2 ; iii. Кислотно-катализитическая конверсия; iv. Термопревращение на твердых катализаторах.

Окислительная конверсия углеводородных газов в режиме поверхностного горения

В. С. Арутюнов, В. М. Шмелев,
А. Н. Рахметов, О. В. Шаповалова,
Л. Н. Стрекова, А. А. Захаров

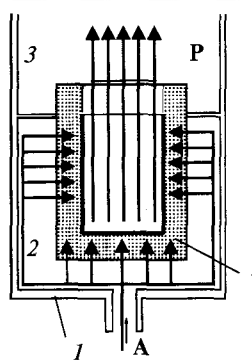


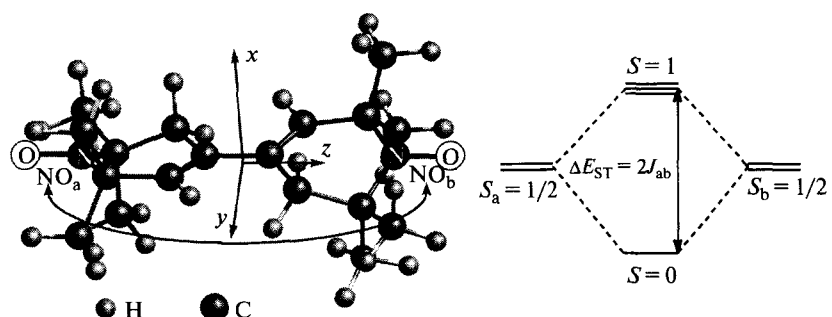
Схема горелочного устройства с глубокой открытой объемной матрицей: 1 — внешний кожух; 2 — объем с газо-воздушной смесью; 3 — выход продуктов сгорания; 4 — боковые стенки и дно полости матрицы из перфорированной керамики; A — смесь углеводород—окислитель, Р — продукты горения.

Изв. АН. Сер. хим., 2013, № 7, 1504

Полные статьи

Комбинированный метод расчета слабых обменных взаимодействий в бирадикалах

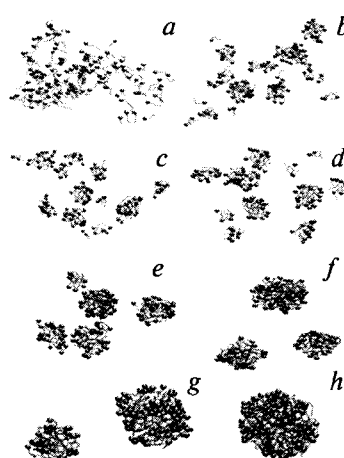
С. Я. Уманский, Е. Н. Голубева,
Б. Н. Плахутин



Изв. АН. Сер. хим., 2013, № 7, 1511

Молекулярно-динамическое исследование структуры и механизма образования молекулярных ассоциатов в водном растворе поверхностно-активных веществ

А. А. Шагинян, Л. Г. Арсенян,
А. Г. Погосян

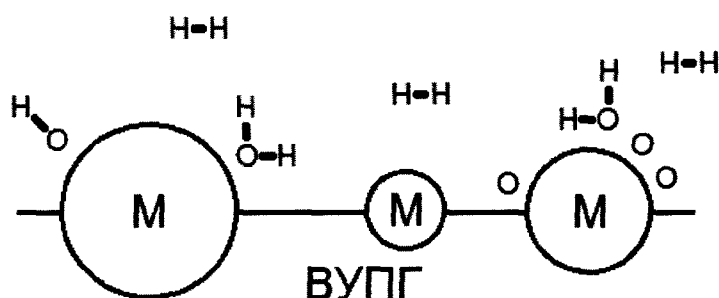


Изв. АН. Сер. хим., 2013, № 7, 1519

Динамика образования мицеллы пентадецилсульфоната натрия в воде: в начале процесса (a), через 0.7 (b), 1.2 (c), 2.3 (d), 4.3 (e), 11 (f), 20 (g) и 46 нс (h) моделирования (конец образования мицеллы). Молекулы воды не показаны.

Адсорбционные свойства наночастиц

М. В. Гришин, А. К. Гатин,
Н. В. Дохликова, А. А. Кирсанкин,
В. А. Харитонов, Б. Р. Шуб

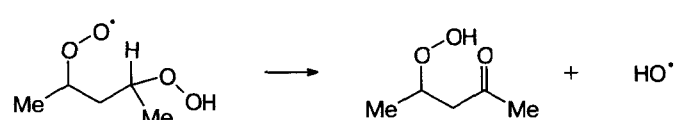


Изв. АН. Сер. хим., 2013, № 7, 1525

ВУПГ — высокоупорядоченный пиролитический графит.

Новый тип радикальных реакций: изомеризация радикала с его согласованной фрагментацией

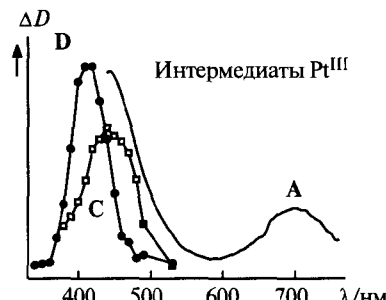
Е. Т. Денисов



Изв. АН. Сер. хим., 2013, № 7, 1533

Цепные процессы в фотохимии галогенидных комплексов платины(IV) в водных растворах

Е. М. Глебов, А. В. Коломеец,
И. П. Поздняков, В. П. Гривин,
В. Ф. Плюснин, Н. В. Ткаченко,
Х. Лемметайнен

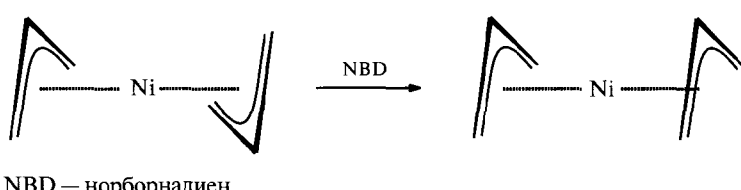


A—D — интермедиаты Pt(IV):
A — $[\text{Pt}^{IV}\text{Cl}_5]^{2-}$ (C_{4v})... Cl^{\cdot}];
C — $\text{Pt}^{IV}\text{Cl}_4\text{X}_2$ ($\text{X} = \text{OH}^-$,
 H_2O); D — $\text{Pt}^{IV}\text{Cl}_{4-n}\text{X}_n$
($n = 1-3$; $\text{X} = \text{OH}^-$, H_2O).

Изв. АН. Сер. хим., 2013, № 7, 1540

Квантово-химическое моделирование цис—транс-изомеризации аллильного лиганда в $\text{Ni}(\eta^3\text{-C}_3\text{H}_5)_2$ в присутствии норборнадиена

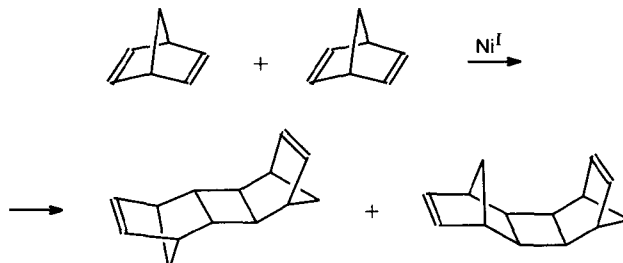
Р. С. Шамсиев, А. В. Дробышев,
В. Р. Флид



Изв. АН. Сер. хим., 2013, № 7, 1549

Проблемы стереоселективности в реакциях [2+2]-циклодимеризации норборнадиена, катализируемой гидридными комплексами никеля(I). Теоретические аспекты

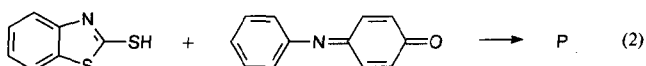
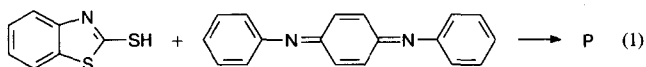
Р. С. Шамсиев, Ха Нгок Тхиен,
В. Р. Флид



Изв. АН. Сер. хим., 2013, № 7, 1553

Особенности кинетики радикальных реакций хинониминов с 2-меркаптобензотиазолом

А. В. Гадомская, С. Я. Гадомский,
В. Т. Варламов



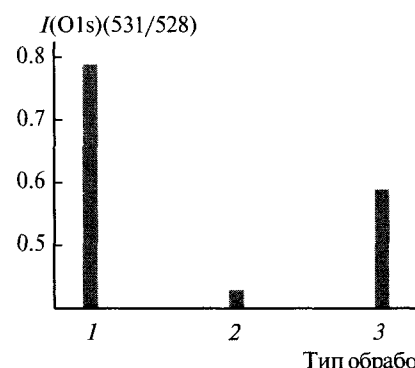
P — продукты

Реакция (1) протекает в режиме самоторможения, вначале по цепному и нецепному каналам одновременно, затем — только нецепным путем; реакция (2) имеет период автоускорения и от начала до конца протекает по нецепному механизму.

Изв. АН. Сер. хим., 2013, № 7, 1558

Исследование методом РФЭС перовскитов $\text{La}_{1-x}\text{Sr}_x\text{FeO}_{3-y}$ ($0 \leq x < 1.0$), приготовленных механохимическим методом

Л. А. Исупова, И. П. Просвирина

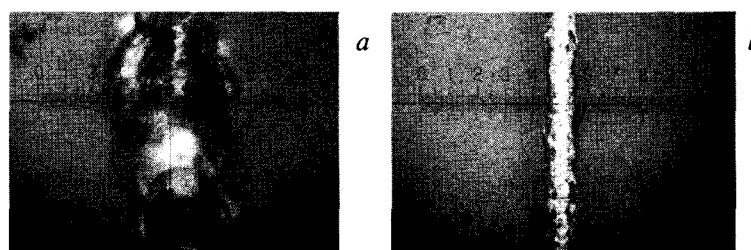


Измеренные соотношения состояний кислорода с энергиями связи ~531 и 528 эВ ($\text{O}(2)/\text{O}(1)$) в перовските $\text{La}_{0.4}\text{Sr}_{0.6}\text{FeO}_3$ при различных обработках: 1 — образец вакуумирован при 30°C , 2 — образец после перегрева в вакууме при 500°C , 3 — предыдущий образец после прогрева в кислороде при 400°C .

Изв. АН. Сер. хим., 2013, № 7, 1564

Влияние поверхностно-активных веществ на процесс лазерно-индукционного осаждения меди из раствора

В. А. Кочемировский, Е. М. Хайруллина,
С. В. Сафонов, Л. С. Логунов,
И. И. Тумкин, Л. Г. Менчиков

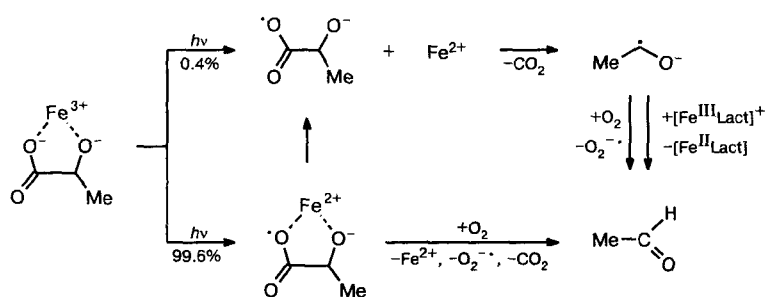


Микрофотографии медных структур, осажденных в отсутствие ПАВ (a) и с добавкой ионогенного ПАВ (b).

Изв. АН. Сер. хим., 2013, № 7, 1570

Фотохимия комплекса железа(III) с молочной кислотой в водных растворах

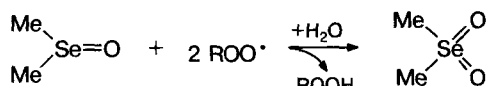
И. П. Поздняков, Фэнг Ву,
А. А. Мельников, В. П. Грибин,
Н. М. Бажин, С. В. Чекалин,
В. Ф. Плюснин



Изв. АН. Сер. хим., 2013, № 7, 1579

Антирадикальная активность диметилселеноксида и селениита натрия

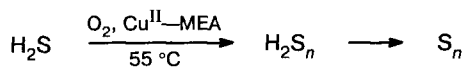
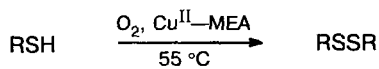
Л. А. Тавадян, А. Д. Саакян,
Л. А. Арутюнян, А. К. Тоникян,
З. О. Манукян



Изв. АН. Сер. хим., 2013, № 7, 1586

Металлокомплексные катализаторы окисли-тельной демеркаптанизации сернистых соедине-ний в природных углеводородах

Ю. А. Гаврилов, И. В. Плетнева,
Е. Н. Силкина

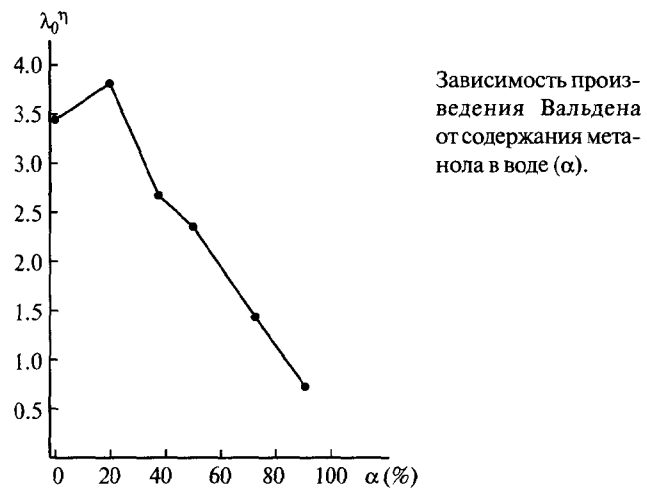


MEA —monoэтаноламин.

Изв. АН. Сер. хим., 2013, № 7, 1590

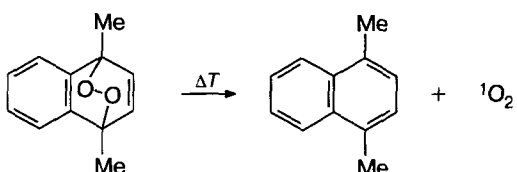
Сравнительное исследование электропроводнос-ти салициловой кислоты в смесях вода—метанол при 25 °C

З. Чарауи, А. Х. Аль-Тайяр,
А. А. Отман



Изв. АН. Сер. хим., 2013, № 7, 1595

Хемилуминесценция при распаде эндопероксида 1,4-диметилнафтилина на поверхности силика-геля в присутствии β -дикетонатных комплексов Nd^{III}, Yb^{III} и Eu^{III}



Границы силикагеля

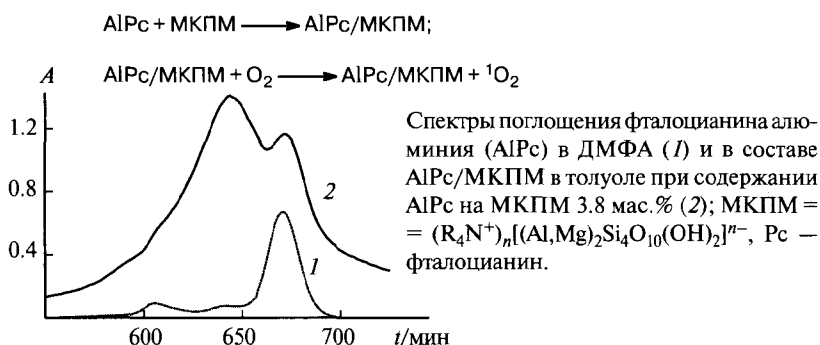
A

Ln = Nd, Yb, Eu; L = 2,2-диметил-6,6,7,7,8,8,8-гептафтор-3,5-октандиоат, 2-теноилтрифторацетонат и ацетилацетогат; A — силикагель.

Изв. АН. Сер. хим., 2013, № 7, 1599

Фотокатализаторы на основе фталоцианинов алюминия и цинка, нанесенных на модифицированный монтмориллонит

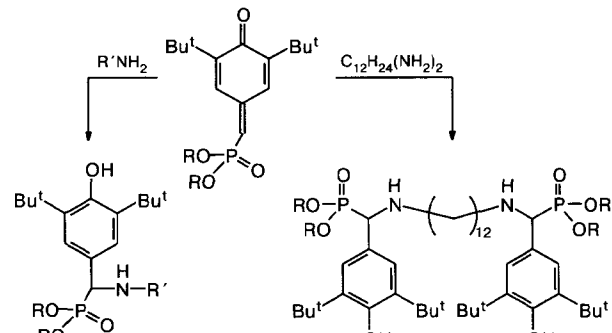
А. А. Заводчикова, А. В. Лобанов,
Б. Иванов



Изв. АН. Сер. хим., 2013, № 7, 1604

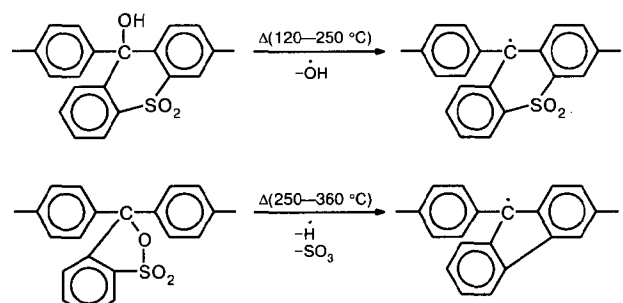
Синтез новых α -аминофосфонатов, содержащих пространственно-затрудненные фенольные фрагменты, на основе реакции 3,5-ди(*трет*-бутил)-4-оксо-2,5-циклогексадиенилиденметилфосфонатов с алифатическими аминами

Э. М. Гибадуллина, Т. Р. Шаехов,
А. К. Бадрутдинов, Ю. К. Воронина,
А. Р. Бурилов

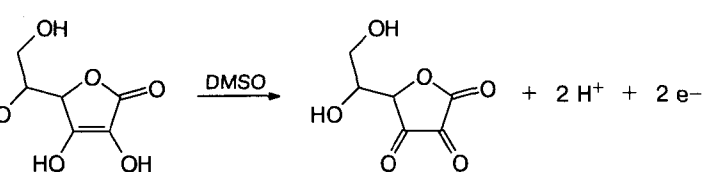


Изв. АН. Сер. хим., 2013, № 7, 1609

Радикальные продукты термолиза полидифенилена сульфофталаида



Н. М. Шишлов, Ш. С. Ахметзянов,
С. Л. Хурсан



Изв. АН. Сер. хим., 2013, № 7, 1614

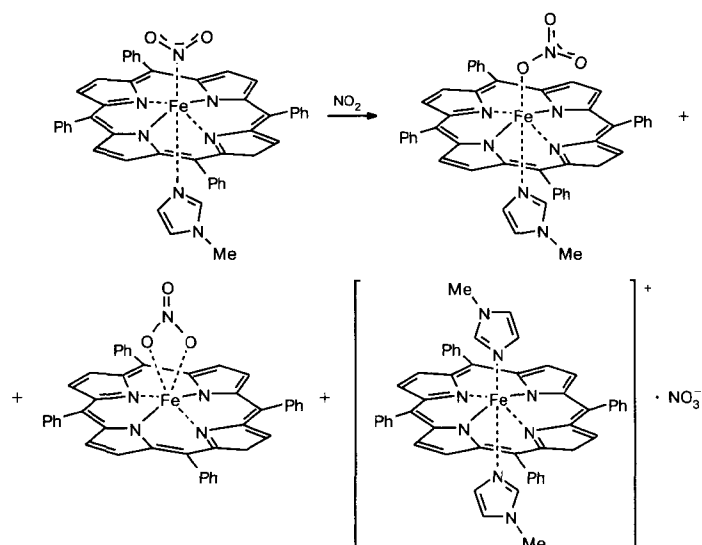
Влияние диметилсульфоксида на электрохимические и антирадикальные свойства аскорбиновой кислоты

Ш. А. Маркарян, Л. А. Тавадян,
Г. Г. Kocharyan, Г. А. Шагинян

Изв. АН. Сер. хим., 2013, № 7, 1625

Взаимодействие диоксида азота с нитрокомплексом тетрафенилпорфирината железа, содержащим *транс*-1-метилимидазольный лиганд

А. А. Оганесян, М. М. Меграбян,
Т. С. Куртикан

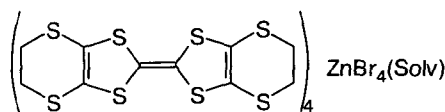


Изв. АН. Сер. хим., 2013, № 7, 1630

Синтез и исследование новых органических проводников на основе ET и EDT-TTF с анионами $[ZnBr_4]^{2-}$

Е. И. Жиляева, К. А. Дзюба,
А. М. Флакина, Г. В. Шилов,
А. В. Куликов, Р. Б. Любовский,
Р. Н. Любовская

Изв. АН. Сер. хим., 2013, № 7, 1636

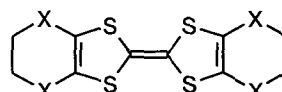


Solv — растворитель

Определение стехиометрии органических проводников на основе тетратиафульваленов ET и BEDO-TTF спектрофотометрическим методом

Е. И. Жиляева, К. А. Дзюба

Изв. АН. Сер. хим., 2013, № 7, 1643



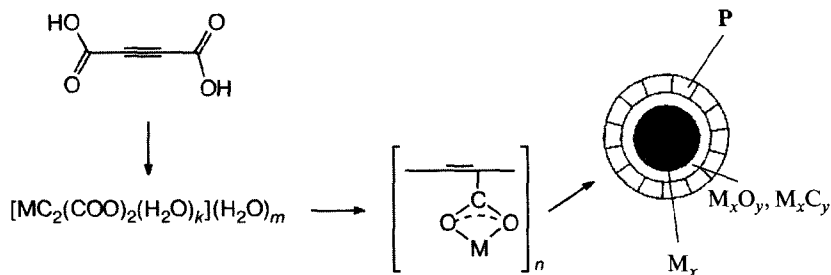
ET, BEDO-TTF

X = S (ET), D (BEDO-TTF)

Получение и реакционная способность металло-содержащих мономеров. Сообщение 72. Получение, структура и свойства мономерных и полимерных ацетиленкарбоксилатов металлов и нанокомпозитов на их основе

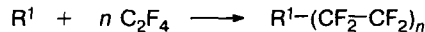
В. А. Шершнев, Г. И. Джардимилиева,
Д. П. Кирюхин, В. А. Жорин,
А. Д. Помогайло

Изв. АН. Сер. хим., 2013, № 7, 1649

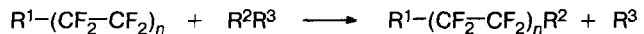


$\text{M}_x\text{O}_y, \text{M}_x\text{C}_y$ — неорганическая оболочка; P — полимерная оболочка.

Радиационно-химический синтез и свойства теломеров тетрафторэтилена во фторсодержащих растворителях



Д. П. Кирюхин, Г. А. Кичигина,
П. П. Кущ, В. Г. Куряый,
В. М. Бузник



↓
T

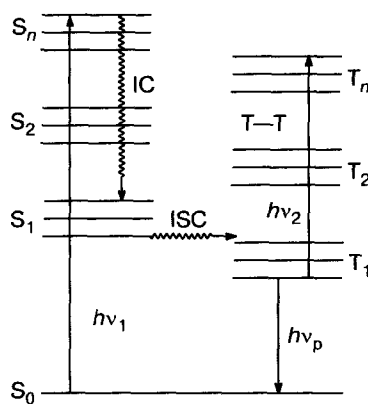
Изв. АН. Сер. хим., 2013, № 7, 1659

Solv — растворитель, n — длина цепи, **T** — теломер.

Письма редактору

Триплет-триплетное поглощение d^0 -металло-комплекса

Г. В. Лукова, В. П. Васильев,
В. Л. Иванов, М. Я. Мельников,
В. А. Смирнов, Е. Е. Мельничук

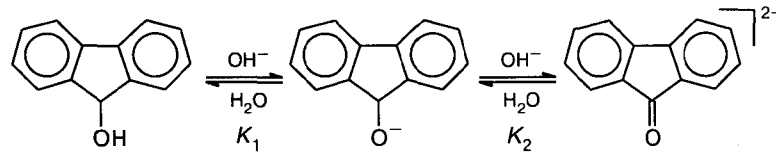


IC и ISC — внутренняя и интеркомбинационная конверсия соответственно,
 $h\nu_p$ — квант излученного света (фосфоресценция).

Изв. АН. Сер. хим., 2013, № 7, 1666

Необычное соотношение pK_1 и pK_2 при образовании π^* -дианиона 9-флуоренона из 9-флуоренола

А. С. Мендкович, М. А. Сыроешкин,
М. Н. Михайлов, Д. В. Ранчина,
А. И. Русаков



$$K_1/K_2 = 8.1 \cdot 10^{-3}$$

Изв. АН. Сер. хим., 2013, № 7, 1668

Информация

Традиционные и нетрадиционные, инновационные и эфемерные материалы и методы в сохранении культурного наследия

С. Лоруссо, Ч. Маттеучи,
А. Натали, С. А. Апичелла

Материалы и методы в современном искусстве

Типы	Примеры
Традиционные	Темпера, бронза, дерево, фрески, масляная живопись
Нетрадиционные	Промышленные материалы, быстропортящиеся материалы, инсталляции
Иновационные	Полимерные материалы, акриловые краски
Эфемерные	Перформанс, хэппенинг, компьютерное искусство.

Изв. АН. Сер. хим., 2013, № 7, 1671

Сравнительный анализ систем управления обращением химикатов

Н. П. Тарасова, А. С. Макарова



Изв. АН. Сер. хим., 2013, № 7, 1682

Международная конференция «Современные проблемы химической физики»

Изв. АН. Сер. хим., 2013, № 7, 1698